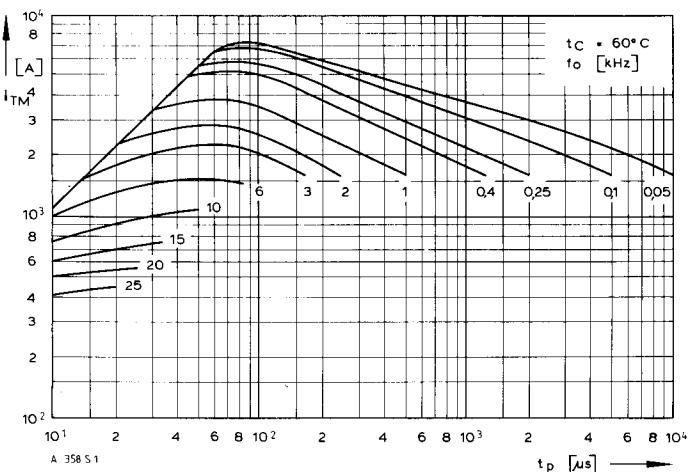


Elektrische Eigenschaften		Electrical properties		
Höchstzulässige Werte	Maximum rated values			
Periodische Vorwärts-Spitzensperrspannung	repetitive peak forward off-state voltage	$t_{vj} = -40^\circ\text{C} \dots t_{vj\max}$	$V_{\text{DRM}}$	600, 800 V 1000, 1100 v 1200, 1300* v
Vorwärts-Stoßsperrspannung	non repetitive peak forward off-state voltage	$t_{vj} = -40^\circ\text{C} \dots t_{vj\max}$	$V_{\text{DSM}} = V_{\text{DRM}}$	
Periodische Rückwärts-Spitzensperrspannung	repetitive peak reverse voltage	$t_{vj} = -40^\circ\text{C} \dots t_{vj\max}$	$V_{\text{RRM}}$	15 v
Periodische Rückwärts-Spitzensperrspannung nach der Kommutierung	repetitive peak reverse voltage after commutation	$t_{vj} = -40^\circ\text{C} \dots t_{vj\max}, t_p = 1\mu\text{s}$	$V_{\text{RRM(C)}}$	50 v
Durchlaßstrom-Grenzeffektivwert Dauergrenzstrom	RMS on-state current average on-state current	$t_C = 85^\circ\text{C}$ $t_C = 59^\circ\text{C}$	$I_{\text{TRMSM}}$ $I_{\text{TAVM}}$ $I_{\text{TSM}}$	800 A 358 A 510 A 5,6 kA 5 kA
Stoßstrom-Grenzwert	surge current	$t_{vj} = 25^\circ\text{C}, t_p = 10\text{ ms}$ $t_{vj} = t_{vj\max}, t_p = 10\text{ ms}$	$i^2\text{dt}$	157 kA <sup>2</sup> s 125 kA <sup>2</sup> s
Grenzlastintegral	/i <sup>2</sup> dt-value	$t_{vj} = 25^\circ\text{C}, t_p = 10\text{ ms}$ $t_{vj} = t_{vj\max}, t_p = 10\text{ ms}$	$(di/dt)_{\text{cr}}$	500 Alps
Kritische Stromsteilheit	critical rate of rise of on-state current	$V_0 \leq 67\% V_{\text{DRM}}, f_0 = 50\text{ Hz}$	$(dv/dt)_{\text{cr}}$	
Kritische Spannungssteilheit	critical rate of rise of off-state voltage	$V_L = 10\text{ V}, i_{GM} = 1,2\text{ A}, di_G/dt = 1,2\text{ A}/\mu\text{s}$ $t_{vj} = t_{vj\max}, V_D = 67\% V_{\text{DRM}}$ 5. Kennbuchstabe/5th letter C 5. Kennbuchstabe/5th letter F		500 V/ $\mu\text{s}$ 1000 V/ $\mu\text{s}$
Charakteristische Werte	Characteristic values			
Durchlaßspannung	on-state voltage	$t_{vj} = t_{vj\max}, i_T = 1500\text{ A}$	$V_T$	max. 2,75 V
Schleusenspannung	threshold voltage	$t_{vj} = t_{vj\max}$	$V_{T(\text{TO})}$	1,3 v
Ersatzwiderstand	slope resistance	$t_{vj} = t_{vj\max}$	$r_T$	0,9 mΩ
Zündstrom	gate trigger current	$t_{vj} = 25^\circ\text{C}, V_D = 12\text{ V}$	$i_{GT}$	max. 300 mA
Zündspannung	gate trigger voltage	$t_{vj} = 25^\circ\text{C}, V_D = 12\text{ V}$	$V_{GT}$	max. 2,7 V
Nicht zündender Steuerstrom	gate non-trigger current	$t_{vj} = t_{vj\max}, V_D = 12\text{ V}$	$i_{GD}$	max. 10 mA
Nicht zündende Steuerspannung	gate non-trigger voltage	$t_{vj} = t_{vj\max}, V_D = 0,5 V_{\text{DRM}}$	$V_{GD}$	max. 0,25 V
Haltestrom	holding current	$t_{vj} = 25^\circ\text{C}, V_D = 12\text{ V}, R_A = 10\Omega$	$i_H$	max. 300 mA
Einraststrom	latching current	$t_{vj} = 25^\circ\text{C}, V_D = 12\text{ V}, R_{GK} \geq 10\Omega$ $i_{GM} = 1,2\text{ A}, di_G/dt = 1,2\text{ A}/\mu\text{s}, t_g = 20\mu\text{s}$	$i_L$	max. 1,2 A
Vorwärts- u. Rückwärts-Sperrstrom	forward off-state and reverse Currents	$t_{vj} = t_{vj\max}, V_D = V_{\text{DRM}}, V_R = V_{\text{RRM}}$	$i_D$ $i_R$	max. 50 mA max. 250 mA
Zündverzug	gate controlled delay time	$t_{vj} = 25^\circ\text{C}, i_{GM} = 1,2\text{ A}, di_G/dt = 1,2\text{ A}/\mu\text{s}$	$t_{gd}$	max. 1,4 μs
Freiwerdezeit	circuit commutated turn-off time	siehe Techn. Erl./see Techn. Inf.	$t_q$	A: max. 8 μs <sup>1)</sup> B: max. 10 μs <sup>1)</sup> C: max. 12 μs <sup>1)</sup> D: max. 15 μs <sup>1)</sup>
Thermische Eigenschaften	Thermal properties			
Innerer Wärmewiderstand für beidseitige Kühlung	thermal resistance, junction to case for two-sided cooling	$\Theta = 180^\circ \text{ el, sin}$	$R_{\text{thJC}}$	max. 0,053 °C/W
für anodenseitige Kühlung	for anode-sided cooling	DC		max. 0,05 °C/W
für kathodenseitige Kühlung	for cathode-sided cooling	$\Theta = 180^\circ \text{ el, sin}$	$R_{\text{thJC(A)}}$	max. 0,088 °C/W
Übergangswärmewiderstand	thermal resistance, case to heatsink	DC		max. 0,085 °C/W
Höchstzul. Sperrsichttemperatur	max. junction temperature	$\Theta = 180^\circ \text{ el, sin}$	$R_{\text{thJC(K)}}$	max. 0,123 °C/W
Betriebstemperatur	Operating temperature	beidseitig/two-sided	$R_{\text{thCK}}$	max. 0,120 °C/W
Lagertemperatur	storage temperature	einseitig/one-sided		max. 0,01 °C/W
			$t_{vj\max}$	125°C
			$t_{c\text{ op}}$	-40 ... + 125°C
			$t_{\text{stg}}$	-40 ... + 140°C
Mechanische Eigenschaften	Mechanical properties			
Si-Elemente mit Druckkontakt	Si-pellets with pressure contact		$F$	4,5 ... 9 kN
Anpreßkraft	clamping force		$G$	typ. 100 g
Gewicht	weight			17 mm
Kriechstrecke	Creepage distance	DIN 40040		C
Feuchtekategorie	humidity classification	$f = 50\text{ Hz}$		50 m/s <sup>2</sup>
Schwingfestigkeit	Vibration resistance	DIN 41814-152A4		Seitelpage 154
Maßbild	outline			

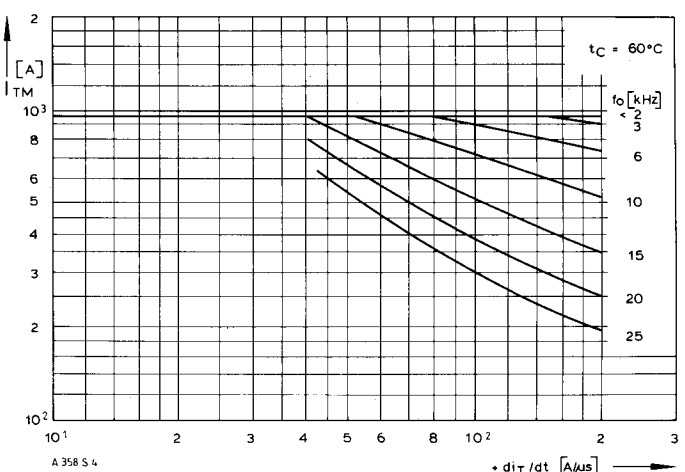
\* Für größere Stückzahlen bitte Liefertermin erfragen/Delivery for larger quantities on request

1) mit antiparalleler Diode/with inverse paralleled diode

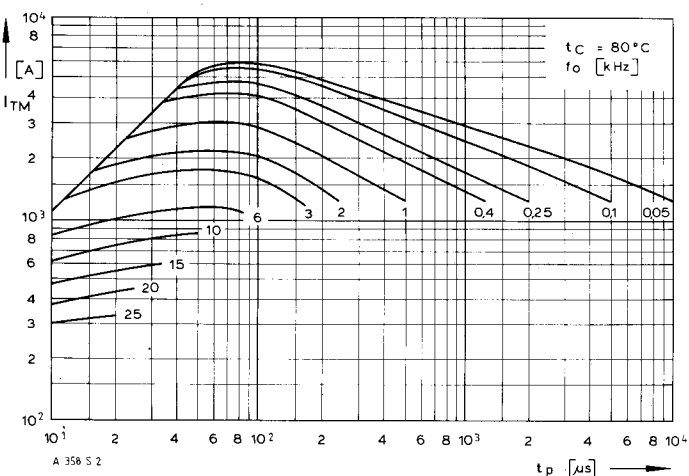
2)  $V_{\text{DRM}} \leq 1000\text{ V}$



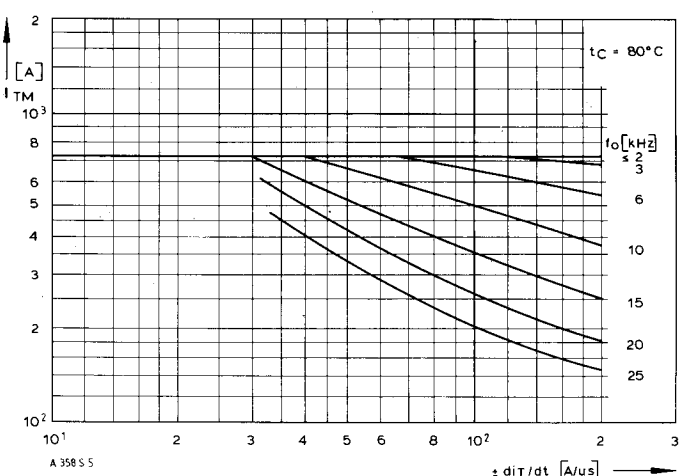
Bild/Fig. 1



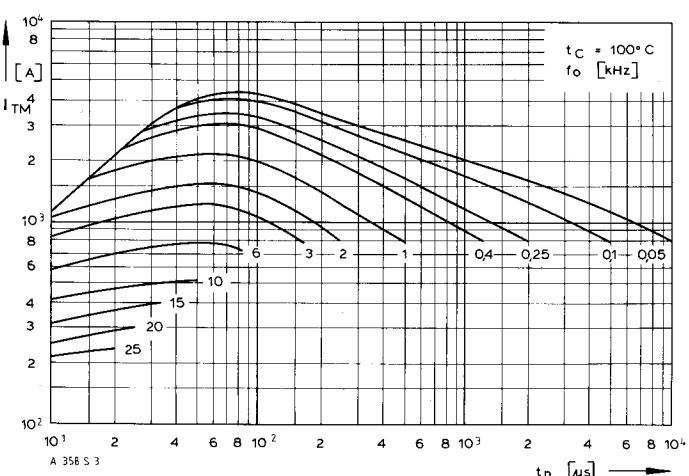
Bild/Fig. 4



Bild/Fig. 2



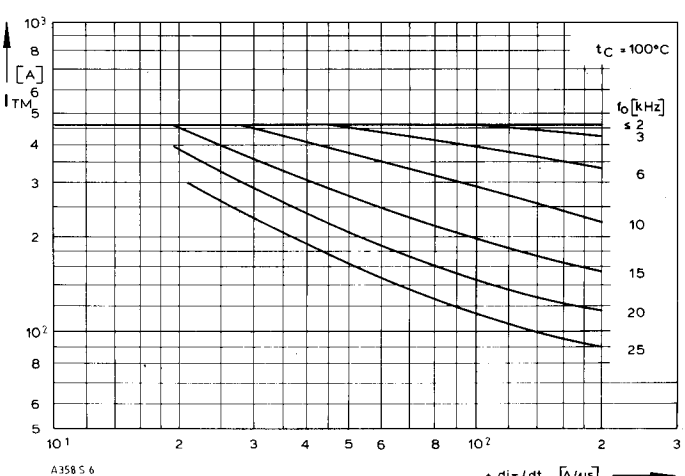
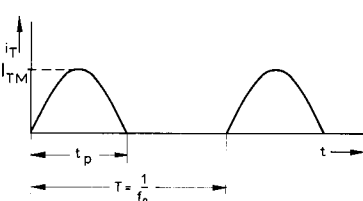
Bild/Fig. 5



Bild/Fig. 3

Bild/Fig. 1, 2, 3  
Steuergenerator/pulse generator:  
 $i_G = 2,4$  A,  $di_G/dt = 2,4$  A/ $\mu s$

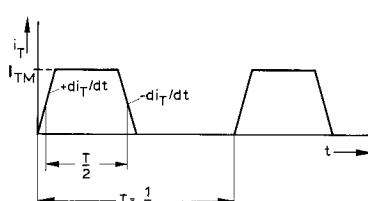
RC-Glied/RC-network:  
 $R |\Omega| \geq 0,02 V_{DM}$  [V]  
 $C \leq 0,22 \mu F$   
 $V_{DM} \leq 0,67 V_{DRM}$

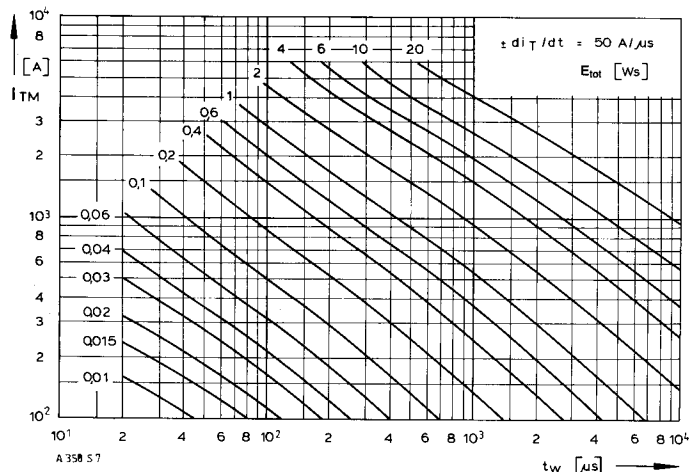


Bild/Fig. 6

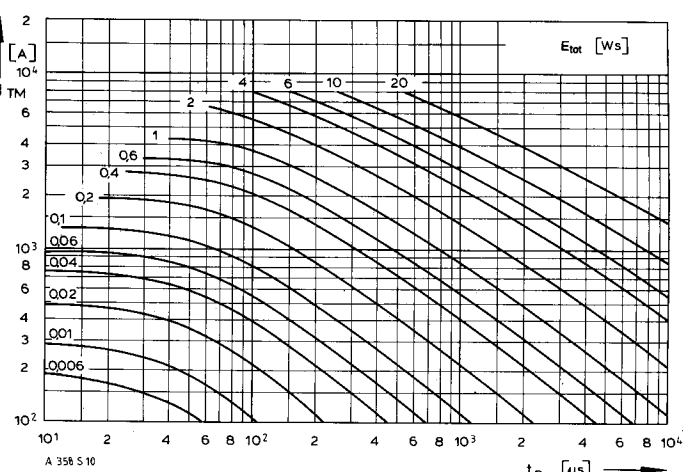
Bild/Fig. 4, 5, 6  
Steuergenerator/pulse generator:  
 $i_G = 2,4$  A,  $di_G/dt = 2,4$  A/ $\mu s$

RC-Glied/RC-network:  
 $R |\Omega| \geq 0,02 V_{DM}$  [V]  
 $C \leq 0,33 \mu F$   
 $V_{DM} \leq 0,67 V_{DRM}$

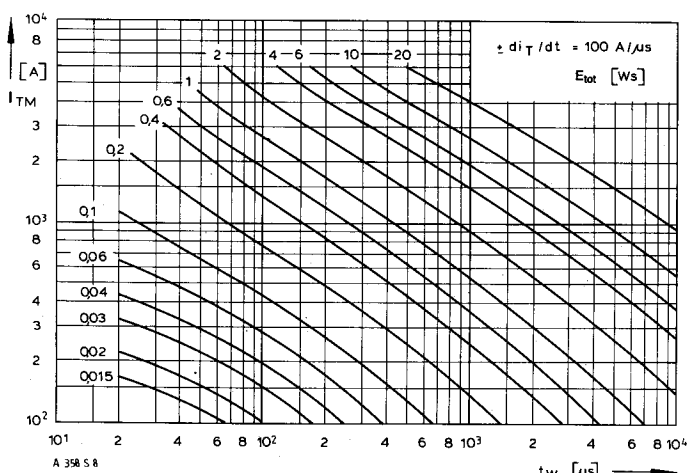




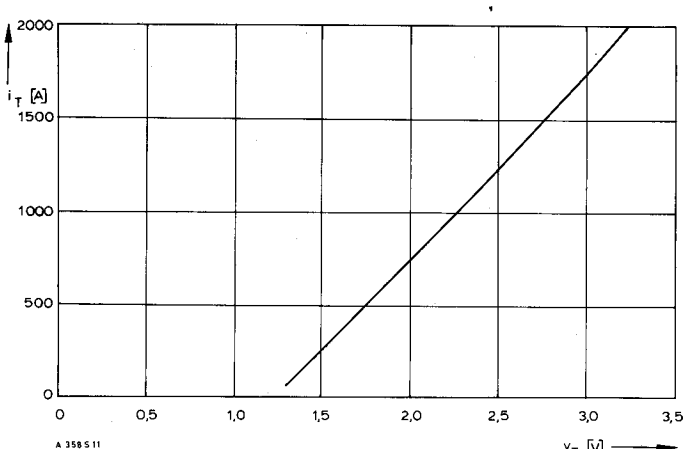
Bild/Fig. 7



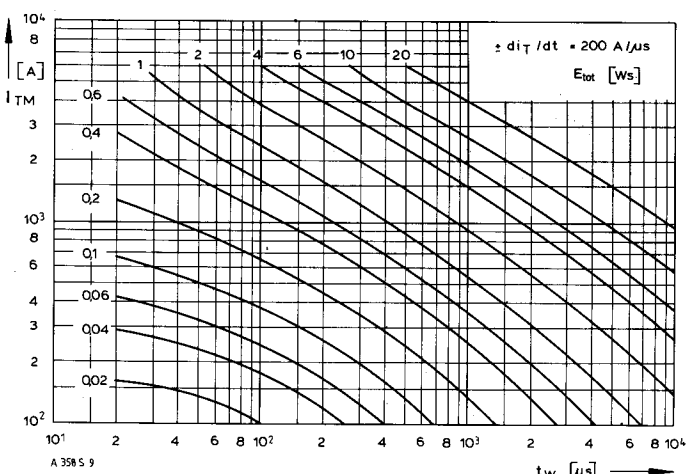
Bild/Fig. 13



Bild/Fig. 8



Bild/Fig. 14



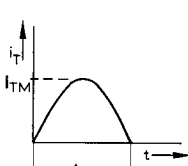
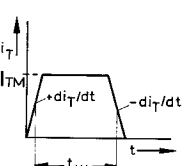
Bild/Fig. 9

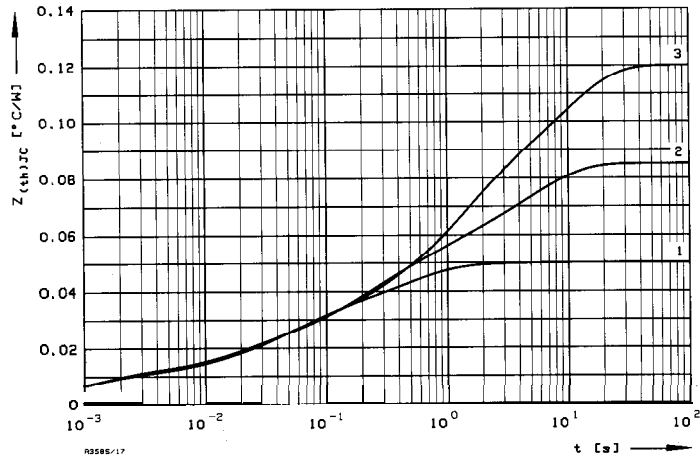
Bild/Fig. 7, 8, 9  
Steuergenerator/pulse generator:  
 $i_G = 2,4 \text{ A}$ ,  $di_G/dt = 2,4 \text{ A}/\mu\text{s}$

RC-Glied/RC-network:  
 $R [\Omega] \geq 0,02 v_{DM} [\text{V}]$   
 $C \leq 0,33 \mu\text{F}$   
 $v_{DM} \leq 0,67 V_{DRM}$   
 $V_{RM} \leq 15 \text{ V}$

(zu Bild/to Fig. 13)  
Steuergenerator/pulse generator:  
 $i_G = 2,4 \text{ A}$ ,  $di_G/dt = 2,4 \text{ A}/\mu\text{s}$

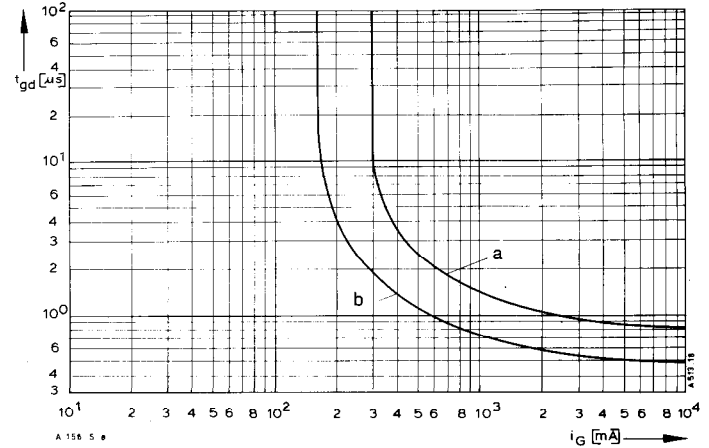
RC-Glied/RC-network:  
 $R [\Omega] \geq 0,02 v_{DM} [\text{V}]$   
 $C \leq 0,22 \mu\text{F}$   
 $V_{RM} \leq 15 \text{ V}$





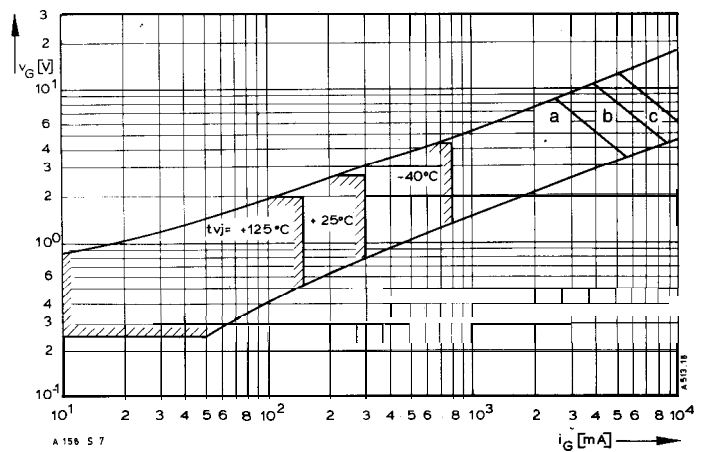
BildFig. 17

Transienter innerer Wärmewiderstand  $Z_{(th)JC} = f(t)$ , DC  
Transient thermal impedance  $Z_{(th)JC} = f(t)$ , DC  
1 Beidseitige Kühlung/two-sided cooling  
2 Anodenseitige Kühlung/anode side cooling  
3 Kathodenseitige Kühlung/cathode side cooling



BildFig. 18

Zündverzug/Gate controlled delay time  $t_{gd} = f(i_{GM})$ ,  $t_{vj} = 25^\circ\text{C}$ ,  $di_G/dt = i_{GM}/1\mu\text{s}$   
a - Maximaler Verlauf/Limiting Characteristic  
b - Typischer Verlauf/Typical Characteristic



BildFig. 19

Steuercharakteristik mit Zündbereichen/Gate Characteristic with triggering areas  
 $v_G = f(i_G)$ ,  $V_D = 12\text{ V}$

Parameter:	a	b	c
Steuerimpulsdauer/Trigger pulse duration $t_g$ [ms]	10	1	0,5
Höchstzulässige Spitzensteuerverlustleistung/ Max. rated peak gate power dissipation $P_{GM}$ [W]	20	40	60

Analytische Elemente des transienten Wärmewiderstandes  $Z_{thJC}$  für DC  
Analytical elements of transient thermal impedance  $Z_{thJC}$  for DC

Kühlung cooling	Pos. n	1	2	3	4	5	6	7
beidseitig two-sided	$R_{thn} [\text{°C/W}]$	0,0105	0,00283	0,0167	0,0188	0,00116		
	$\tau_n [\text{s}]$	0,00113	0,0255	0,0511	0,429	2,49		
anodenseitig anode-sided	$R_{thn} [\text{°C/W}]$	0,0094	0,00974	0,0182	0,0161	0,0316		
	$\tau_n [\text{s}]$	0,000984	0,017	0,15	0,6	5,0		
kathodenseitig cathode-sided	$R_{thn} [\text{°C/W}]$	0,00928	0,0145	0,00868	0,0401	0,0475		
	$\tau_n [\text{s}]$	0,000939	0,0285	0,156	1,12	9,1		

Analytische Funktion/analytical function:

$$Z_{thJC} = \sum_{n=1}^{n_{\max}} R_{thn} (1 - \exp(-t/\tau_n))$$